

นอกจานี้ตัดตับจากกุ้งตัวเดียว กันของกุ้งทั้ง 2 กลุ่ม นำไปสกัด total RNA และติดตามการแสดงออกของ mRNA ของยีนเข้มไขยานินในตับโดยวิธี Real-Time PCR โดยใช้เพร์เมอร์จำเพาะจาก cDNA ที่สร้างได้จากข้อ 8.4 ซึ่งติดฉลากด้วย fluorescent dye นำ PCR product เป็นเคราห์บโรมาณ เปรียบเทียบกับ internal standard (18S rRNA)

## ผลการทดลองและวิจารณ์

### 1. การทำให้เข้มไขยานินบริสุทธิ์จากพลาสมາของกุ้งแซนบิว

เนื่องจากเข้มไขยานินเป็นโปรตีนที่พบมากสุด (80-95%) ของโปรตีนทั้งหมดในเข้มไขมีของกุ้ง ในการศึกษาแบบแ朋โปรตีนของเข้มไขยานินในพลาสมາของกุ้งแซนบิวโดยการทำ Native PAGE พบร้าพลาสมามีต้นที่นำมาศึกษาปรากฏแบบโปรตีนที่ข้อมแบบชิลเวอร์ติดสีจางหลายแถบ แต่ที่ติดสีเข้มมากมีเพียง 1 แถบ (แถบ HC ในรูปที่ 1 แถบที่ 2) ซึ่งเมื่อเทียบแบบแ朋โปรตีนกับของกุ้งขาว *P. vannamei* (Figueroa-Soto et al., 1997) และของกุ้งกุลาดำ (Ellerton and Anderson, 1981) บ่งชี้ว่าแถบนี้เป็นแถบเข้มไขยานิน ดังนั้นในการวิจัยทำให้สามารถติดตามแถบโปรตีนเข้มไขยานินได้

จากการที่เข้มไขยานินเป็นโปรตีนที่จับอยู่กับคอปเปอร์และมีสีน้ำเงินจากการที่คอปเปอร์จับกับออกซิเจน (Rainer and Brouwer, 1993) ซึ่งคุณลักษณะได้ที่ความยาวคลื่น 340 นาโนเมตร (A340) ในงานวิจัยนี้เมื่อแยกพลาสมาที่เตรียมได้จากเข้มไขมีของกุ้งแซนบิวด้วยการทำอัลตราเซนติฟิวจ์ เก็บสารละลายเป็นส่วน ๆ ตามลำดับจากบนสุด (หลอดที่ 1) ไปจนถึงตะกอนก้นหลอด (หลอดที่ 14) และเมื่อนำสารละลายแต่ละหลอดไปหาบโรมาณโปรตีนและวัดค่า A340 ของคอปเปอร์ พบร้าสารละลายหลอดที่ 13 มีบโรมาณโปรตีนและค่า A340 มากสุด บ่งชี้ว่าสารละลายหลอดที่ 13 มีบโรมาณเข้มไขยานินมากกว่าสารละลายหลอดอื่น ๆ ซึ่งสอดคล้องกับสีของสารละลายหลอดที่ 13 ที่มีสีน้ำเงินเข้มของคอปเปอร์ และคล้ายกับผลการแยกเข้มไขยานินจากพลาสมາของกุ้ง kuruma (*P. japonicus*) ด้วยวิธีอัลตราเซนติฟิวจ์ที่พบเข้มไขยานินถูกแยกอยู่ในส่วนก้นหลอด (Adachi et al., 2001)

เมื่อตรวจสอบความบริสุทธิ์ของเข้มไขยานินในสารละลายหลอดที่ 13 ปรากฏแบบแ朋โปรตีนคล้ายกับพลาสมາของกุ้งแซนบิว แต่ความเข้มของแถบโปรตีนอื่นที่ไม่ใช่แถบเข้มไขยานินติดสีข้อมากลง (รูปที่ 1 แถบที่ 3) แสดงให้เห็นว่าการทำอัลตราเซนติฟิวจ์กำจัดโปรตีนปนเปื้อนออกได้บางส่วน เมื่อนำสารละลายหลอดที่ 13 ที่ได้จากการทำอัลตราเซนติฟิวจ์ไปแยกต่อโดยวิธี preparative PAGE พบร้าสารละลายที่เตรียมได้ปรากฏโปรตีนเพียงแถบเดียวเมื่อข้อมโปรตีนแบบชิลเวอร์ ณ ตำแหน่งของเข้มไขยานิน (รูปที่ 1 แถบที่ 4) บ่งชี้ว่าการทำ preparative PAGE สามารถแยกเข้มไขยานินได้บริสุทธิ์ โดยมีบโรมาณโปรตีน 13.9 มิลลิกรัม และคิดเป็น 2.5 % ของพลาสม่าโปรตีนเริ่มต้นแบบแ朋โปรตีนของเข้มไขยานินบริสุทธิ์ที่แยกได้จากพลาสมາของกุ้งแซนบิวคล้ายกับแบบแ朋โปรตีน

ของอี莫ไชyaninที่แยกได้จากครัสเตเชียนชนิดอื่น ซึ่งปรากฏเปรตีนเพียงແນບเดียวใน Native PAGE อาทิเช่น อี莫ไชyaninจากกุ้งขาว (Figueroa-Soto *et al.*, 1997) และจากปู (*Scylla olivacea*) (Chen *et al.*, 2007)

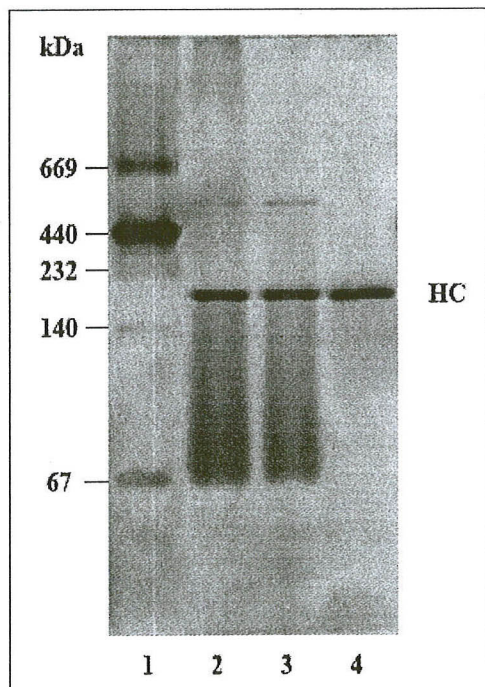


Fig. 1 Native PAGE of hemocyanin at various steps of purification. The gel was stained with a silver staining kit. Lane 1, molecular weight markers; lane 2, plasma; lane 3, fraction 13 from ultracentrifugation, lane 4, purified hemocyanin (HC) from preparative PAGE.

## 2. การศึกษาคุณสมบัติของอี莫ไชyaninบริสุทธิ์

### 2.1 การหามวลโมเลกุลของอี莫ไชyaninโดยวิธีเจลฟิลเทอร์ชัน

จากการหามวลโมเลกุลของอี莫ไชyaninบริสุทธิ์โดยใช้คอลัมน์ Superose 12 HR 10/30 FPLC เปรียบเทียบกับโปรตีนมาตรฐาน 5 ชนิด (รูปที่ 2) เมื่อเขียนกราฟมาตรฐานระหว่างค่า log ของน้ำหนักโมเลกุลกับค่า  $K_{av}$  ของโปรตีนมาตรฐาน สามารถคำนวณมวลโมเลกุลของอี莫ไชyanin บริสุทธิ์ได้ 215 kDa ดังแสดงผลในรูปที่ 2

มีรายงานเกี่ยวกับมวลโมเลกุลของอี莫ไชyaninบริสุทธิ์ในรูปไม่แปลงสภาพ (native form) จำนวนมาก โดยส่วนใหญ่มีรายงานเป็นมวลโมเลกุลของหน่วยอย่างของอี莫ไชyanin ใน SDS-PAGE

ถึงแม้การหามวลโมเลกุลของโปรตีนโดยวิธี Native PAGE จะไม่ແມ່ນຢໍາເພົາກວັດທະຍົງວິທີ Native PAGE ເປັນການແຍກໂປຣຕິນດ້ວຍ 3 ປັຈຸຍຄວບຄຸກັນຄືອປະຈຸສູທິ ຂາດ ແລະ ຖຸປ່າງຂອງໂປຣຕິນ ແຕ່ ມີຮາຍງານກາງວັດທະຍົງວິທີ Native PAGE ລໍາໄສໂໃຫຍນນົບຮູສູທີ່ຂອງກຸ່ງ *Penaeus setiferus* (Brouwer et al., 1978) ແລະ ຂອງກຸ່ງກຸລາດໍາ (Ellerton and Anderson, 1981) ມີມາລົມໂລກຸລ໌ເທົກັນຄືອ 471 kDa ສ່ວນຂອງກຸ່ງຂາວມີມາລົມໂລກຸລ໌ 400 kDa (Figueroa-Soto et al., 1997) ສໍາຮັບເສີໂໃຫຍນນົບຮູສູທີ່ຂອງປຸງ *S. olivacea* ມີມາລົມໂລກຸລ໌ 400 kDa (Chen et al., 2007) ສີໂໃຫຍນທັ້ງໃນພລາສມາ ແລະ ອື່ນໂໃຫຍນນົບຮູສູທີ່ຂອງກຸ່ງແຂບ້ວຍມີມາລົມໂລກຸລ໌ 230 kDa ໃນ Native PAGE (ຮູບທີ 1) ໃນຂະນະທີ່ ສີໂໃຫຍນນົບຮູສູທີ່ມີມາລົມໂລກຸລ໌ 457 kDa ເນື້ອຫາໂດຍວິທີເຈລີໍລືເທຣໜັດ້ວຍຄອລັມນີ້ Superose 12 (ຮູບທີ 2) ຜຶ້ງມີຄ່າໄກລ໌ເຄີຍກັບຂອງກຸ່ງຂາວ (Figueroa-Soto et al., 1997) ກຸ່ງ *P. setiferus* (Brouwer et al., 1978) ກຸ່ງກຸລາດໍາ (Ellerton and Anderson, 1981) ແລະ ຂອງປຸງ *S. olivacea* (Chen et al., 2007) ບໍ່ປັ້ງວ່າສີໂໃຫຍນນົບຮູສູທີ່ຂອງກຸ່ງແຂບ້ວຍມີປະຈຸສູທີ່ເປັນລົບນາກກວ່າຂອງກຸ່ງອື່ນ ທ່າງ ຈຶ່ງວິ່ນໄປໜ້າຂ້ວນວກໃນ Native PAGE ໂດຍໄປໝູ້ໃນຕໍາແໜ່ງທີ່ໄກລກວ່າຂອງກຸ່ງໜີດີ່ນີ້ມີມາລົມໂລກຸລ໌ໄກລ໌ເຄີຍກັບຂອງກຸ່ງແຂບ້ວຍ

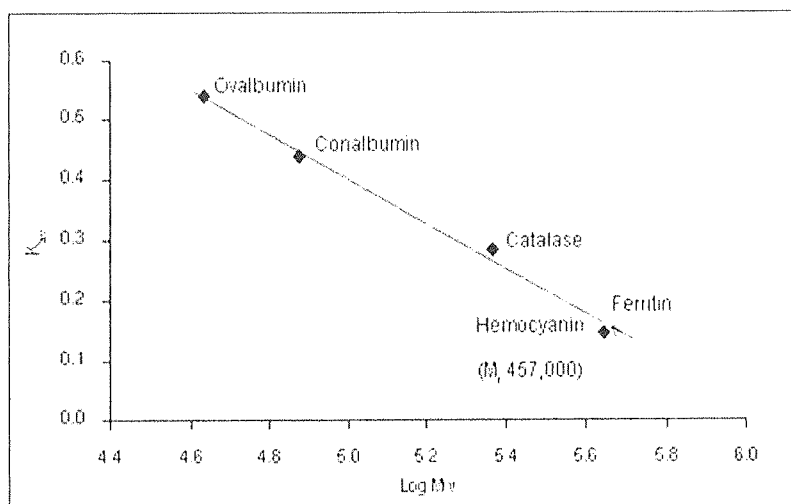


Fig. 2 Standard graph for  $M_r$  determination analyzed by Superose 12 column.

## 2.2 ມາລົມໂລກຸລ໌ແລະ ຈຳນວນໜ່ວຍຍ່ອຍຂອງສີໂໃຫຍນໃນ SDS-PAGE

ເມື່ອນຳສີໂໃຫຍນນົບຮູສູທີ່ຂອງກຸ່ງແຂບ້ວຍໄປວິເຄຣະທີ່ດ້ວຍການທຳ SDS-PAGE ເພື່ອຫາມາລົມໂລກຸລ໌ແລະ ຈຳນວນໜ່ວຍຍ່ອຍຂອງສີໂໃຫຍນນົບຮູສູທີ່ ປະກຸງແນບໂປຣຕິນ 2 ແຕ່ ບໍ່ປັ້ງວ່າສີໂໃຫຍນນົບຮູສູທີ່ປະກອບດ້ວຍໜ່ວຍຍ່ອຍ 2 ຂາດ ແລະ ຈາກກາງຫາມາລົມໂລກຸລ໌ຂອງສີໂໃຫຍນນົບຮູສູທີ່ໂດຍເປົ້າຍບໍເຕີຍກັບໂປຣຕິນມາຕຽງສານ 8 ຊົນດ ພບວ່າຄຳນວນຫາມາລົມໂລກຸລ໌ຂອງໜ່ວຍຍ່ອຍຂອງສີໂໃຫຍນນົບຮູສູທີ່ໄດ້ 79,400 ແລະ 75,000 ດັລຕັນ (ຮູບທີ 3 ແລະ ທີ່ 4) ຜຶ້ງມີຄ່າໄກລ໌ເຄີຍກັບຂອງໜ່ວຍຍ່ອຍຂອງສີໂໃຫຍນນົບຮູສູທີ່ໃນກຸ່ງໜີດີ່ນີ້ ທ່າງ ທີ່ປະກອບດ້ວຍໜ່ວຍຍ່ອຍ 2 ຂາດ ເຊັ່ນກັນ ອາທິເຫັນ ສີໂໃຫຍນຂອງກຸ່ງ

*P. japonicus* มีมวลโมเลกุล 77,000 และ 67,000 ดัลตัน (Adachi et al., 2001) ของกุ้งขาวมีมวลโมเลกุล 82,000 และ 75,000 ดัลตัน (Figueroa-Soto et al., 1997) ของกุ้ง *P. setiferus* มีมวลโมเลกุล 82,000 และ 77,000 ดัลตัน (Brouwer et al., 1978) ในขณะที่ของกุ้งนาง (*P. leniusculus*) มีมวลโมเลกุล 75,000 และ 66,000 ดัลตัน (Lee et al., 2004)

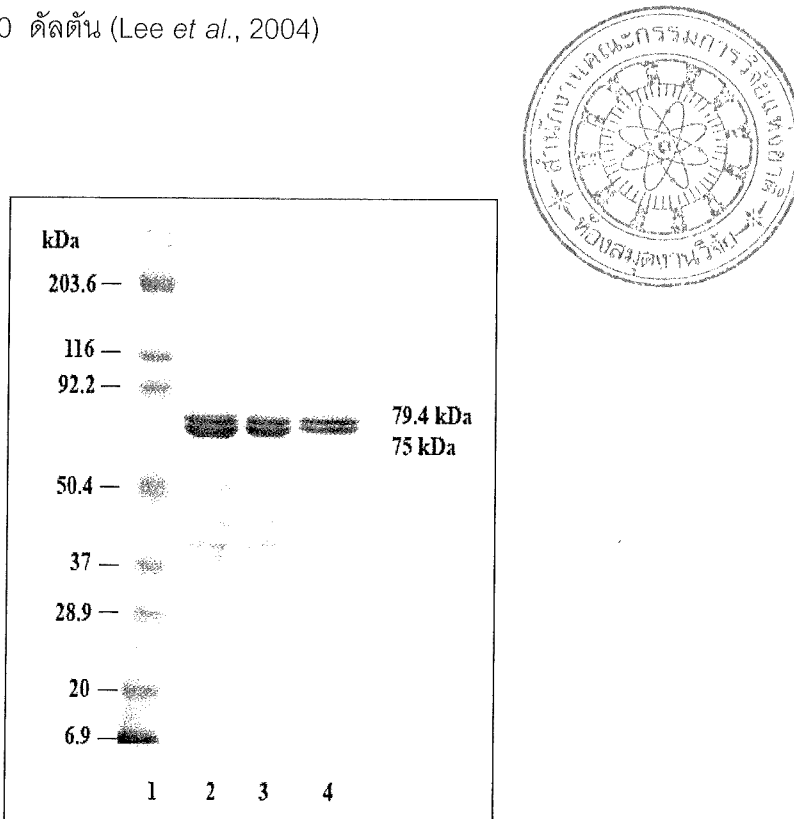
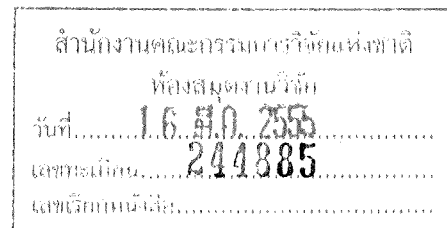


Fig. 3 SDS-PAGE of hemocyanin at various steps of purification. The protein bands were visualized by staining with Coomassie Blue. Lane 1, molecular weight markers; lane 2, plasma; lane 3, fraction 13 from ultracentrifugation, lane 4, purified hemocyanin from preparative PAGE.

### 2.3 ทดสอบการมีแอคทิวิตี้ของเอนไซม์ฟีนอลออกซิเดสของสีโนไซยานิน

จากการวัดแอคทิวิตี้ของเอนไซม์ฟีนอลออกซิเดสของสีโนไซยานินบิสูทธิ์ตามวิธีการข้อ 7.4 ไม่พบการมีแอคทิวิตี้ของเอนไซม์ฟีนอลออกซิเดส แม้จะเพิ่มสีโนไซยานินบิสูทธิ์ที่ใช้ในการวิเคราะห์ปริมาณต่าง ๆ กัน ซึ่งมีรายงานการพบสีโนไซยานินบิสูทธิ์มีแอคทิวิตี้ของเอนไซม์ฟีนอลออกซิเดสเฉพาะในกุ้ง *P. japonicus* เท่านั้น (Adachi et al., 2001)



#### 2.4 การหาลำดับกรดอะมิโนทางด้านปลายเอนของสีโนไซานินบริสุทธิ์

เมื่อนำสีโนไซานินบริสุทธิ์ไปแยกโดยวิธี SDS-PAGE สามารถนำไปหาลำดับกรดอะมิโนด้านปลายเอนของหน่วยย่อยสีโนไซานินได้ แต่ไม่สามารถเปรียบเทียบกับของสีโนไซานินของกุ้งชนิดอื่น เพราะไม่มีรายงานปรากฏ แต่ลำดับกรดอะมิโนด้านปลายเอนของสีโนไซานินบริสุทธิ์ที่หาได้เหมือนกับของยืนยันว่าสีโนไซานินที่โคลนได้ (รูปที่ 8)

#### 3. การสังเคราะห์แอนติบอดีต่อสีโนไซานินบริสุทธิ์

จากการฉีดกระตุ้นกระต่ายด้วยสีโนไซานินบริสุทธิ์ของกุ้งແเข็บวาย และทดสอบการมีแอนติบอดีต่อสีโนไซานินด้วยวิธี Ouchterlony double immunodiffusion พบว่ากระต่ายสามารถสังเคราะห์แอนติบอดีต่อสีโนไซานินบริสุทธิ์ได้หลังจากการฉีดสัปดาห์ที่ 4 (รูปที่ 4 หลุม C) และมีการสังเคราะห์เพิ่มมากขึ้นหลังจากการฉีดสัปดาห์ที่ 5 และ 6 ตามลำดับ (รูปที่ 4 หลุม D และ E) ทั้งนี้ไม่พบแอนติบอดีต่อสีโนไซานินบริสุทธิ์ในซีรัมกระต่ายก่อนการฉีดแอนติบอดี (รูปที่ 4 หลุม A) จะเห็นได้ว่ากระต่ายมีการสังเคราะห์แอนติบอดีต่อสีโนไซานินบริสุทธิ์เพิ่มขึ้นเมื่อถูกกระตุ้นด้วยแอนติเจน

เมื่อนำชีรัมของกระต่ายไปตกตะกอนด้วยแอมโมเนียมชัลเฟต์ที่ความอิ่มตัว 50% แล้วแยกด้วยคอลัมน์ DEAE-Sephacel พบว่าแอนติบอดีถูกชะออกมานอกพื้นที่เดิม (Wallance, 1965) แอนติบอดีที่ผ่านการตกตะกอนหรือที่แยกด้วยคอลัมน์เกิดปฏิกิริยาการตกตะกอนกับสีโนไซานินบริสุทธิ์ได้ดี เช่นเดียวกับชีรัมกระต่ายก่อนผ่านคอลัมน์ ดังแสดงผลในรูปที่ 4 หลุม F และ G

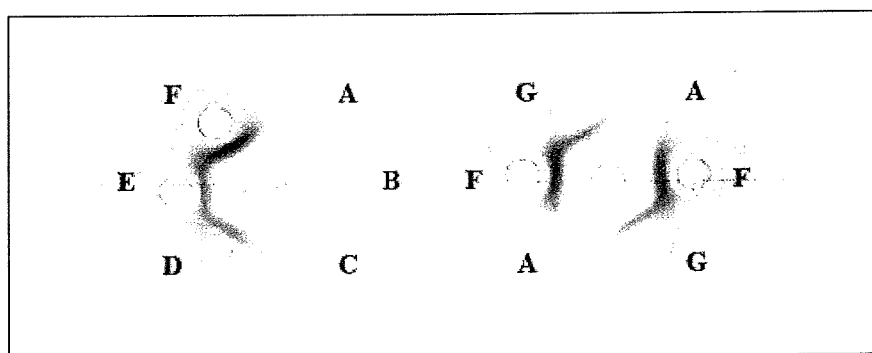


Fig. 4 Ouchterlony double immunodiffusion of anti-hemocyanin antibody.

Well A, pre-immune serum; well B-E, serum at week 2, 4, 5 and 6 post-injection, respectively; well F, ammonium sulphate precipitated serum; well G, purified antibody from DEAE-Sephacel column.

#### 4. การทำ Western blot

เพื่อทดสอบความจำเพาะของแอนติบอดีต่อชีโมไไซยานินบริสุทธิ์ นำพลาสมาของกุ้งแซบบี้อยสารละลายหลอดที่ 13 ที่ได้จากการทำอัลตราเซนตริฟิวจ์ และชีโมไไซยานินบริสุทธิ์ไปทำ SDS-PAGE และทดสอบต่อด้วยการทำ Western blot ปรากฏเฉพาะแถบโปรตีน 2 แ眷 ที่เกิดปฏิกิริยา กับแอนติบอดีในห้องทั้ง 3 ตัวอย่าง (รูปที่ 5B) คือพลาสมา (ແລກที่ 6) สารละลายหลอดที่ 13 (ແລກที่ 7) และชีโมไไซยานินบริสุทธิ์ (ແລກที่ 8) เมื่อเปรียบเทียบตำแหน่งกับแถบโปรตีนในแผ่นเจลที่ย้อมด้วยสีคูมาชีบูล (รูปที่ 5A ແລກที่ 2-4) พบร้าตำแหน่งของแถบโปรตีน 2 แ眷 ที่เกิดปฏิกิริยา กับแอนติบอดีเป็นตำแหน่งของชีโมไไซยานินซึ่งมีมวลโมเลกุล 79.4 และ 75 kDa บ่งชี้ว่าแอนติบอดีต่อชีโมไไซยานินบริสุทธิ์ มีความจำเพาะสูง เพราะเกิดปฏิกิริยาเฉพาะกับชีโมไไซยานินเท่านั้น แต่ไม่เกิดปฏิกิริยา กับโปรตีนอื่น ๆ ในพลาสมารึอในสารละลายหลอดที่ 13 รวมทั้งไม่เกิดปฏิกิริยา กับโปรตีนมาตรฐาน ดังแสดงผลในรูปที่ 5B ແລກที่ 5

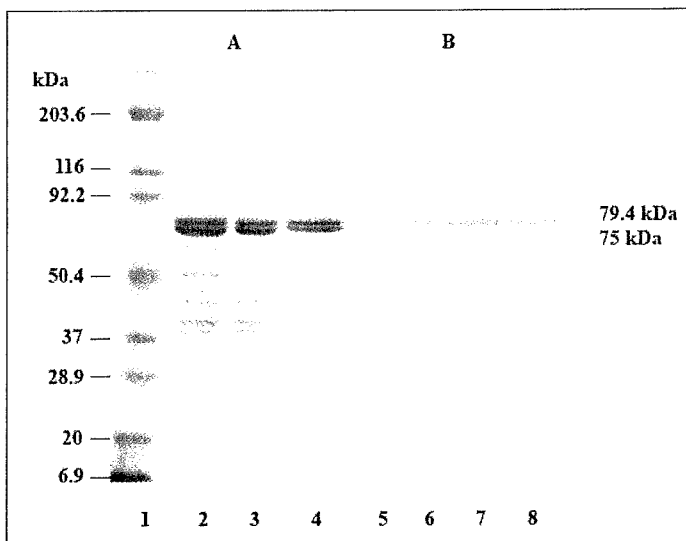


Fig. 5 SDS-PAGE (A) and Western blot (B) of hemocyanin. The gel was stained by Coomassie Blue. Lane 1 and 5, molecular weight markers; lane 2 and 6, plasma; lane 3 and 7, fraction 13 from ultracentrifugation, lane 4 and 8, purified hemocyanin.

## 5. การพัฒนาเทคนิค ELISA เพื่อใช้วัดปริมาณสีโมไไซานินในสีโนลิมฟ์

### 5.1 การหาสภาวะที่เหมาะสมในการทำ ELISA

การวิเคราะห์ปริมาณสีโมไไซานินด้วยวิธี ELISA ต้องอาศัยหลักปัจจัยในการทำ ได้แก่ การใช้ปริมาณสีโมไไซานิน ปริมาณแอนติบอดีต่อสีโมไไซานินบริสุทธิ์ ( $1^{\circ}\text{Ab}$ ) และปริมาณแอนติบอดีต่อ IgG ของกระต่ายซึ่งยึดติดกับเอนไซม์เปอร์ออกซิเดส ( $2^{\circ}\text{Ab}$ ) ที่เหมาะสม นอกจากนี้ในการติดตามปฏิกิริยาของเอนไซม์เปอร์ออกซิเดสที่เกิด ก็ต้องใช้ความเข้มข้นของสับสติเรท OPD และ  $\text{H}_2\text{O}_2$  รวมทั้งระยะเวลาการเกิดปฏิกิริยาของเอนไซม์เปอร์ออกซิเดสที่เหมาะสม ซึ่งในงานวิจัยนี้ได้พัฒนาเทคนิค ELISA เพื่อใช้วัดปริมาณสีโมไไซานินในสีโนลิมฟ์ โดยการใช้ปัจจัยแต่ละตัวที่ความเข้มข้นต่าง ๆ กัน แล้วเลือกค่าที่เหมาะสม ซึ่งจากทดลองดังกล่าวพบว่าสภาวะที่เหมาะสมสำหรับการวิเคราะห์ปริมาณสีโมไไซานินด้วยวิธี ELISA เป็นดังนี้ ใช้สีโนลิมฟ์,  $1^{\circ}\text{Ab}$  และ  $2^{\circ}\text{Ab}$  ที่เจือจาง 1:200, 1:2,000 และ 1:25,000 เท่า ตามลำดับ ใช้ความเข้มข้นของ OPD ที่ 0.4 mg/ml ความเข้มข้นของ  $\text{H}_2\text{O}_2$  ที่ 0.01% และระยะเวลาการเกิดปฏิกิริยาของเอนไซม์เปอร์ออกซิเดสเป็น 30 นาที

### 5.2 การทำกราฟมาตรฐานของสีโมไไซานินบริสุทธิ์

เนื่องจากสีโมไไซานินมีปริมาณมากในสีโนลิมฟ์ ดังนั้นการทำกราฟมาตรฐานจึงได้เลือกทำในช่วงที่มีค่า A492 ครอบคลุมการวัดหาปริมาณสีโมไไซานินในสีโนลิมฟ์ ซึ่งในการทำกราฟมาตรฐานของสีโมไไซานินเพื่อใช้ในการวัดปริมาณของสีโมไไซานินในสีโนลิมฟ์ของกุ้งแซบบี้ ได้จากการนำสีโนไไซานินบริสุทธิ์ปริมาณต่าง ๆ ในช่วง 5-69 ไมโครกรัมต่อลิตร เคลือบเพลท จากนั้นทำ ELISA ต่อ ตามภาวะที่เหมาะสมในข้อ 5.1 และพล็อตกราฟระหว่างค่า A492 กับ log ของปริมาณสีโนไไซานินที่ใช้ ผลการทดลองแสดงค่า A492 เพิ่มขึ้นเป็นเส้นตรงตามปริมาณของสีโนไไซานินบริสุทธิ์ที่เพิ่มขึ้นในช่วง 10-69 ไมโครกรัม การใช้สีโนไไซานินปริมาณ 5 ไมโครกรัม จะให้ค่า A492 ที่เบี่ยงเบนออกจากเส้นตรง (รูปที่ 6) ดังนั้นจึงใช้ปริมาณสีโนไไซานินในช่วง 10-69 ไมโครกรัมต่อลิตร เป็นกราฟมาตรฐานในการคำนวณหาปริมาณสีโนไไซานินในสีโนลิมฟ์ของกุ้งแซบบี้โดยวิธี ELISA ต่อไป

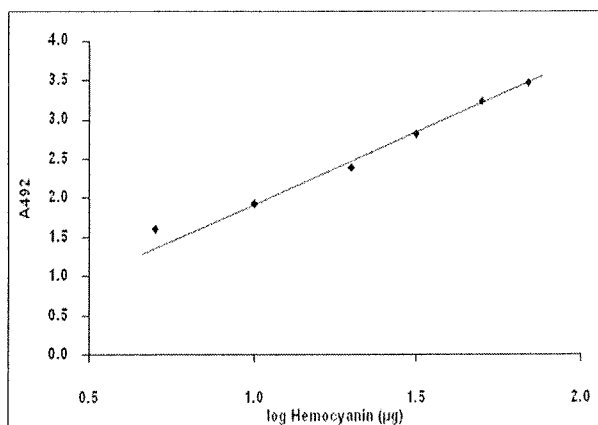


Fig. 6 Standard hemocyanin for ELISA.

### 5.3 การหาปริมาณยีโมไซดานินในยีโมลิมพ์ของกุ้งแซบบ์วายโดยวิธี ELISA

จากการวัดปริมาณยีโมไซดานินในยีโมลิมพ์ของกุ้งแซบบ์วายปกติ 6 ตัวอย่าง โดยเจือจาง ยีโมลิมพ์ด้วยอัตราส่วน 1:200 จากนั้นนำไปวิเคราะห์ด้วยวิธี ELISA ตัวอย่างละ 2 ชั้า พบร่วงปริมาณ ยีโมไซดานินในยีโมลิมพ์มีค่าเฉลี่ย  $\pm$  ค่าผิดพลาดมาตรฐาน เป็น  $111.07 \pm 3.58$  มิลลิกรัมต่อมิลลิลิตร ของยีโมลิมพ์ ขณะที่โปรตีนทั้งหมดในยีโมลิมพ์มีค่าเฉลี่ย  $\pm$  ค่าผิดพลาดมาตรฐาน เป็น  $129.65 \pm 4.63$  มิลลิกรัมต่อมิลลิลิตรของยีโมลิมพ์ ดังนั้นปริมาณยีโมไซดานินที่หาด้วยวิธี ELISA ของกุ้งแซบบ์วายจึงคิดเป็น 85.67% ของโปรตีนในยีโมลิมพ์ ซึ่งสอดคล้องกับรายงานที่พบว่า 80-95% ของโปรตีนในยีโมลิมพ์ของครัสเตเชียนเป็นยีโมไซดานิน อาทิเช่น ในกุ้งขาว (Cariolou and Flytzanis, 1993) และในกุ้ง *P. japonicus* (Chen and Cheng, 1993)

## 6. การสร้าง Full-length cDNA และศึกษาสมบัติของยีโนไซดานิน

จากการออกแบบ forward และ reverse primer จากลำดับกรดอะมิโนด้านปลายเอ็นและจากข้อมูล conserved sequence ของยีโนไซดานินของกุ้งพีเนียดที่มีใน Genbank ได้ใช้ H280 F1 และ H1180 R1 สำหรับเป็น forward และ reverse primer ในการโคลน cDNA ของยีโนไซดานินชิ้นที่ 1 (HC1) และใช้ H660 F2 และ H1780 R2 เป็น forward และ reverse primer ในการโคลน cDNA ของยีโนไซดานินชิ้นที่ 2 (HC2) ซึ่งสามารถโคลนได้ชิ้น HC1 และ HC2 ที่มีขนาด 923 และ 1,118 bp ตามลำดับ จากนั้นได้โคลน cDNA ชิ้นปลาย 5' และ 3' ด้วยวิธี 5' และ 3' RACE แล้วนำไปสร้างยีโนไซดานินสายเต็ม (รูปที่ 7) พบร่วมมีขนาด 2,128 bp ที่ประกอบด้วย 1 signal peptide ที่มีกรดอะมิโน 20 แห่งวาย มีหนึ่ง 5' untranslated region (UTR, 30 bp) มีหนึ่ง 3' UTR (112 bp) และมี 1 open reading frame (ORF) ยาว 1,983 bp ซึ่ง encode สายเปปไทด์ที่มีกรดอะมิโน 661 แห่งวาย

จากการแปลง full-length ORF cDNA ของยีโนไซดานินไปเป็น deduced amino acid sequence พบร่วงมีตัวแทนเจนจับกับ  $Cu^{2+}$  ( $Cu^{2+}$  binding site) 2 ตำแหน่งโดยยึดไว้ด้วยกรดอะมิโน histidine 6 แห่งวาย อันเป็นคุณลักษณะของยีโนไซดานิน (รูปที่ 8) และมีมวลโมเลกุล 73,100 ดัลตัน ซึ่งมีขนาดใกล้เคียงกับหน่วยของยีโนไซดานินบอริสูท์ที่วิเคราะห์โดย SDS-PAGE ยีโนไซดานินของกุ้งแซบบ์วายคล้ายกับของกุ้งอื่น ดังเช่น ยีโนไซดานินสายเต็ม (full-length) ของกุ้งขาวที่โคลนจาก cDNA library ที่เตรียมจากตับ ยาว 2,095 bp มีขนาด 73,500 ดัลตัน (Sellos et al., 1997) มีการโคลนยีโนไซดานินจากกุ้ง *P. japonicus* ได้ 2 ยีน คือ PjHcL และ PjHcY ประกอบด้วยกรดอะมิโน 678 และ 664 แห่งวาย มีมวลโมเลกุล 75,000 และ 73,000 ดัลตันตามลำดับ และมีตำแหน่งจับกับ  $Cu^{2+}$  (Lei et al., 2007) นอกจากนี้จากการ BLAST ลำดับนิวคลีโอไทด์ของยีโนไซดานินของกุ้งแซบบ์วายเปรียบเทียบกับของกุ้งชนิดอื่น พบร่วงยีโนไซดานินของกุ้งแซบบ์วายมีความเหมือน (identity) กับของกุ้งขาวมากที่สุด (90%) เมื่อกับของกุ้ง *P. japonicus* 83% และ 74% และของกุ้ง *F. chinensis* 75% (ตารางที่ 1)

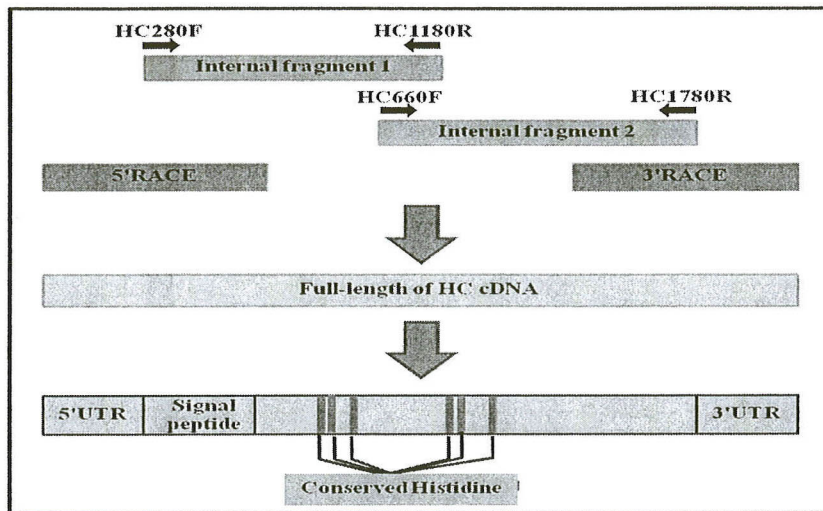


Fig. 7 Cloning strategy and structure of the full-length cDNA of HC gene. Internal cDNAs (HC1 and HC2) were cloned by using hepatopancreas RNA and two pairs of primers, H280 F1 and H1180 R1 for HC1 and H660 F2 and H1780 R2 for HC2. The 5' and 3' RACE approach was used to clone the 5' and 3' ends of the cDNA. The full-length HC sequence was reconstructed from the overlapping of these sequences.

```

1 MRVLVVLGLI AAAAFQVVSA DVQKQKDVLY LLHRIYGDIQ DADLLATANS
 51 FDPAGGSYSD GGAAVQRLLK GLNDGRLLEQ KHWFSLFNTR HRNEALLLFD
 101 VLIHSSDWAT FVGNAAFFRQ KINEGEFYA LYVAVIHSPL TEDVVLPPLY
 151 EITPHLFTNS EVIEAAAYRAK QKQTPGKFES TFTGTKKNPE QRVAYFGEDI
 201 GLNTHHVTWH MEFPFWWDDE YGHHLDRKGE NFFWVHHQLT VRFDAERLSN
 251 YLDPVGELHW YKPIVDGFAP HTTYKYGGQF PARPDNVKFE DVDDVARIRD
 301 MVIVESRIRD AIAHGYIIDS HGKQIDISNE KGIDILGDVI ESSLYSPNVQ
 351 YYGALHNTAH IVLGRQGDPH GKFDLPPGV LHFETATRDP SFFRLHKYMD
 401 NIFKEHKDSL PPYTKADLEF SGVSISEVNV VGELETYFED FEYNLINAVD
 451 DAEGIPDVDI STYVPRLNHK EFTFKIDIEN GGSPRLATVR IFAWPHKDNN
 501 GIEFTFDEGR WNAIELDKFW VSLAGGKNSI ERKSTESSVT VPDVPSIDTL
 551 FAKTAAGGDG LSEFASATGL PNRFLLPKGN DKGLEFDLVV AVTDGDADAA
 601 VPDLHLNTKY NHYGANGVYP DKRPHGYPLD RRVPDERVFE ELPNFKHIQV
 651 KVFNHGEGHIH S

```

Fig. 8 The deduced amino acid sequence of hemocyanin. The putative signal peptide is bold. Six histidine residues that are involved in two Cu<sup>2+</sup> binding sites are bold and underlined.

Table 1. The percentage ratios of the overall nucleotide identity among the nucleotide sequences of HC of four shrimp species.

	<i>F. merguiensis</i>	<i>F. chinensis</i>	<i>P. japonicus</i> L	<i>P. japonicus</i> Y	<i>P. vannamei</i>
<i>F. merguiensis</i>	100	75	74	83	90
<i>F. chinensis</i>		100	82	75	75
<i>P. japonicus</i> L			100	75	74
<i>P. japonicus</i> Y				100	84
<i>P. vannamei</i>					100

## 7. การแสดงออกของยีนเข็มไชyanin ในเนื้อเยื่อต่าง ๆ

จากการศึกษาการแสดงออกของยีนเข็มไชyanin ในเนื้อเยื่อต่าง ๆ ของกุ้งแซบวัยตัวยิ่ง RT-PCR โดยวิเคราะห์ผลผลิต PCR เมื่อใช้เพรเมอร์จำเพาะของยีนเข็มไชyanin พบร่วม cDNA probe มีขนาด 1,118 bp และใช้ β-actin เป็น internal standard พบการแสดงออกของ HC mRNA เฉพาะในตับ ไม่พบการแสดงออกของ HC mRNA ในเนื้อเยื่ออื่น ๆ ได้แก่ กล้ามเนื้อ หัวใจ ลำไส้ กระเพาะ เซลล์เข็มไชท์ และ lymphoid ของกุ้งแซบวัย (รูปที่ 9) เช่นเดียวกับยีนเข็มไชyanin ของกุ้งนาง (Lee et al., 2004) และของกุ้ง *P. japonicus* (Lei et al., 2007) ที่แสดงออกในตับเช่นกัน บ่งชี้ว่ายีนไชyanin ของกุ้งแซบวัยถูกสังเคราะห์ในตับ (Spindler et al., 1992)

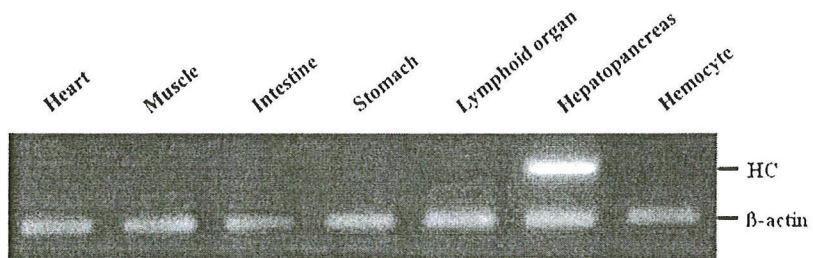


Fig. 9 RT-PCR analysis of the expression of HC mRNA in different tissues. Total RNA was extracted from various tissues. RT-PCR products were amplified by using the primers that were specific to the HC gene and β-actin. The RT-PCR of β-actin transcript was a control to demonstrate that the same amount of RNA template was used in each sample.

### 8. การแสดงออกของยีนไฮยาโนในตับของกุ้งที่บ่มด้วย *V. harveyi*

เพื่อศึกษาการตอบสนองของยีนไฮยาโนที่ถูกเหนี่ยวนำด้วยเชื้อก่อโรคกุ้ง ทำการบ่มตับของกุ้ง เชป์วัยด้วย *V. harveyi* และวิเคราะห์การแสดงออกของ HC mRNA ที่เวลาต่าง ๆ ในช่วง 0-4 ชั่วโมง พบว่ายีนไฮยาโนมีการแสดงออกเริ่มเพิ่มขึ้นเมื่อบ่มนาน 0.5 ชั่วโมง และมีค่าเพิ่มสูงสุดที่ 2.5 ชั่วโมง หลังจากนั้นค่อย ๆ ลดลงที่ 3 ชั่วโมง ในขณะที่ตับชุดควบคุมที่บ่มกับ K-199 อย่างเดียวมีการแสดงออกคงที่ไม่แตกต่างกันตลอด 4 ชั่วโมง (รูปที่ 9) จากผลการทดลองนี้แสดงให้เห็นว่าเมื่อบ่มตับกุ้งกับ *V. harveyi* โดยตรง จะกระตุ้นการแสดงออกของยีนไฮยาโนซึ่งตอบสนองต่อการเหนี่ยวนำด้วยเชื้อก่อโรค

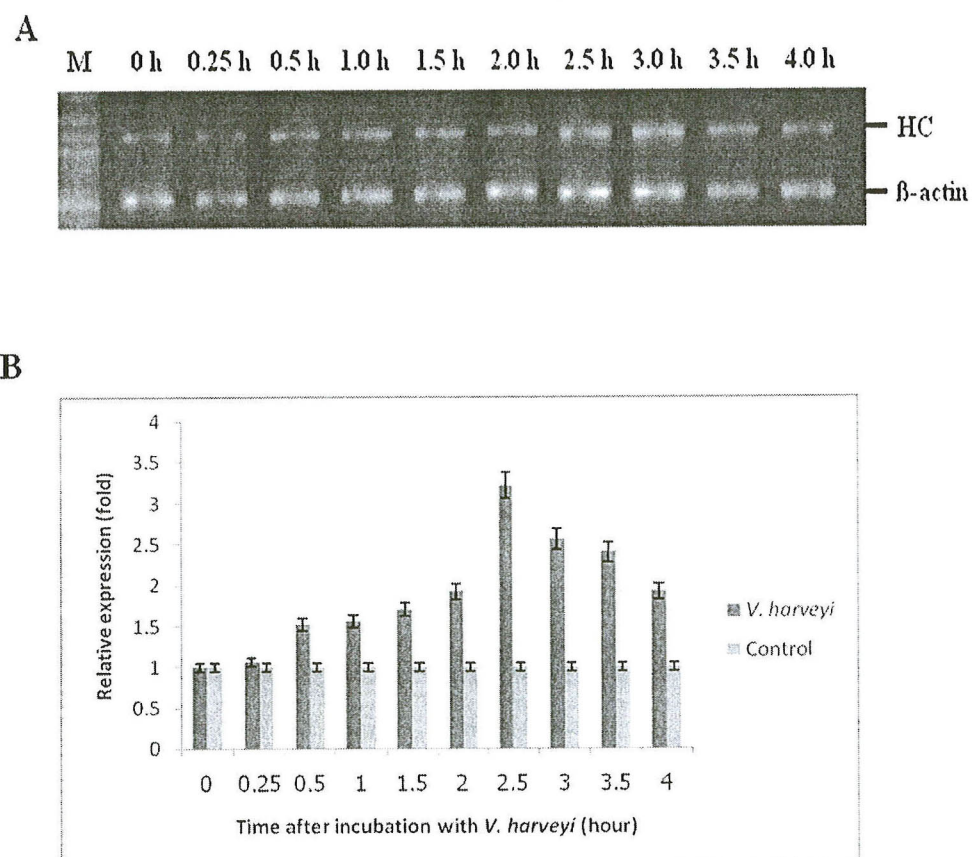


Fig. 10 Expression of HC mRNA in hepatopancreas at different time intervals in response to *V. harveyi* challenge. Time-course expression of HC in the hepatopancreas fragment after incubating with *V. harveyi*, was revealed by electrophoresis (A) and determined by semi-quantitative RT-PCR (B) using β-actin as an internal control.

## 9. การตอบสนองของยีโนไซยาณินในกุ้งที่ถูกฉีดด้วย *V. harveyi*

### 9.1 การแสดงออกของยีโนไซยาณินในกุ้งที่ถูกฉีดด้วย *V. harveyi*

เนื่องจากกุ้งแซบวัยมีการแสดงออกของ HC mRNA ในตับ จึงได้ติดตามการแสดงออกของยีโนไซยาณินในตับของกุ้งที่ถูกฉีดด้วยเชื้อ *V. harveyi* ที่เวลาต่าง ๆ ในช่วง 0 - 24 ชั่วโมง ด้วยวิธี Real-time PCR และใช้ 18S rRNA เป็น internal standard เมื่อเทียบกับค่าเริ่มต้นที่ชั่วโมง 0 ก่อนฉีด พบร้า HC mRNA ของกุ้งชุดควบคุมที่ฉีดด้วยน้ำเกลือมีการแสดงออกไม่แตกต่างกันตลอดช่วงเวลา 0 - 24 ชั่วโมง หลังการฉีด ในขณะที่กุ้งที่ฉีดด้วยแบคทีเรียก่อโรคมีการแสดงออกไม่แตกต่างกันตลอดช่วงเวลา ที่ชั่วโมง 6 เมื่อเทียบกับชั่วโมงที่ 0 ก่อนฉีด และมีค่าเพิ่มสูงสุด ณ ชั่วโมงที่ 12 จากนั้นมีค่าลดลงที่ 18 และ 24 ชั่วโมงหลังการฉีด จนมีค่าเท่ากับชั่วโมงที่ 0 (รูปที่ 11A)

### 9.2 ปริมาณยีโนไซยาณินในยีโนลิมฟ์ของกุ้งที่ถูกฉีดด้วย *V. harveyi*

โปรตีนยีโนไซยาณิน มีรูปแบบที่ตอบสนองต่อการฉีดเชื้อ *V. harveyi* สอดคล้องไปในทิศทางเดียวกับยีโนไซยาณิน กล่าวคือปริมาณโปรตีนยีโนไซยาณินที่วิเคราะห์ด้วยวิธี ELISA ในยีโนลิมฟ์เพิ่มขึ้นจากชั่วโมงที่ 0 จนเพิ่มสูงสุดที่ชั่วโมง 12 และมีค่าเริ่มลดลงเท่าระดับก่อนฉีด ณ ชั่วโมงที่ 18 หลังการฉีด ในขณะที่ปริมาณยีโนไซยาณินในยีโนลิมฟ์ของกุ้งชุดควบคุมมีค่าไม่แตกต่างกันในช่วง 0 - 24 ชั่วโมง (รูปที่ 11B)

เนื่องจากไม่มีรายงานการศึกษาการตอบสนองของยีโนไซยาณินต่อการติดเชื้อก่อโรคในกุ้งชนิดอื่น ๆ โดยการปั่นตับหรือฉีดกุ้งด้วยแบคทีเรียก่อโรคในทำนองเดียวกันนี้ แต่จากการศึกษาการแสดงออกของยีโนเลคตินในตับกุ้งแซบวัยที่ฉีดเชื้อ *V. harveyi* พบร้ามีการแสดงออกของยีโนเลคตินเพิ่มขึ้น ณ ชั่วโมงที่ 6 และเพิ่มสูงสุด 3.6 เท่า ณ ชั่วโมงที่ 12 หลังการฉีด โดยลดตินเป็นโปรตีนหนึ่งที่มีบทบาทสำคัญในระบบภูมิคุ้มกันของกุ้ง (Rattanaporn and Utarabhand, 2011) นอกจากนี้มีรายงานพบเปปไทด์ด้านปลาย C ของยีโนไซยาณินมีปริมาณเพิ่มขึ้นในยีโนลิมฟ์ของกุ้งขาวตอบสนองต่อการฉีดด้วยเชื้อก่อโรคกุ้งคือแบคทีเรีย *Vibrio alginolyticus* หรือรา *Fusarium oxysporum* ณ ชั่วโมงที่ 3 และเพิ่มสูงสุด ณ ชั่วโมงที่ 6 หลังการฉีด (ไม่ได้ทำการทดลอง ณ ชั่วโมงที่ 12) จากนั้นมีค่าลดลงที่ชั่วโมง 24, 48 และ 72 ตามลำดับ (Destoumieux-Garzon et al., 2001) บ่งชี้ว่าเปปไทด์ด้านปลาย C ของยีโนไซยาณินมีบทบาทเกี่ยวข้องกับระบบภูมิคุ้มกันต่อเชื้อก่อโรคกุ้ง รวมทั้งยังพบยีโนไซยาณินของกุ้งกุลาดำมีฤทธิ์ต้านไวรัสก่อโรคกุ้งชนิด white spot syndrome virus (WSSV) (Zhang et al., 2004) จากผลงานวิจัยเหล่านี้บ่งชี้ว่ายีโนไซยาณินของกุ้งแซบวัยถูกกระตุ้นให้มีการแสดงออกเพิ่มขึ้นเพื่อสังเคราะห์ยีโนไซยาณินหรือหลังโปรตีนนี้จากตับมากขึ้น ตอบสนองต่อการเห็นยืนนำด้วยเชื้อก่อโรคกุ้ง ยีโนไซยาณินจึงเป็นโปรตีนหนึ่งที่อาจมีบทบาทเกี่ยวข้องกับระบบภูมิคุ้มกันในกุ้ง ซึ่งควรมีการศึกษากลไกโดยละเอียดต่อไป

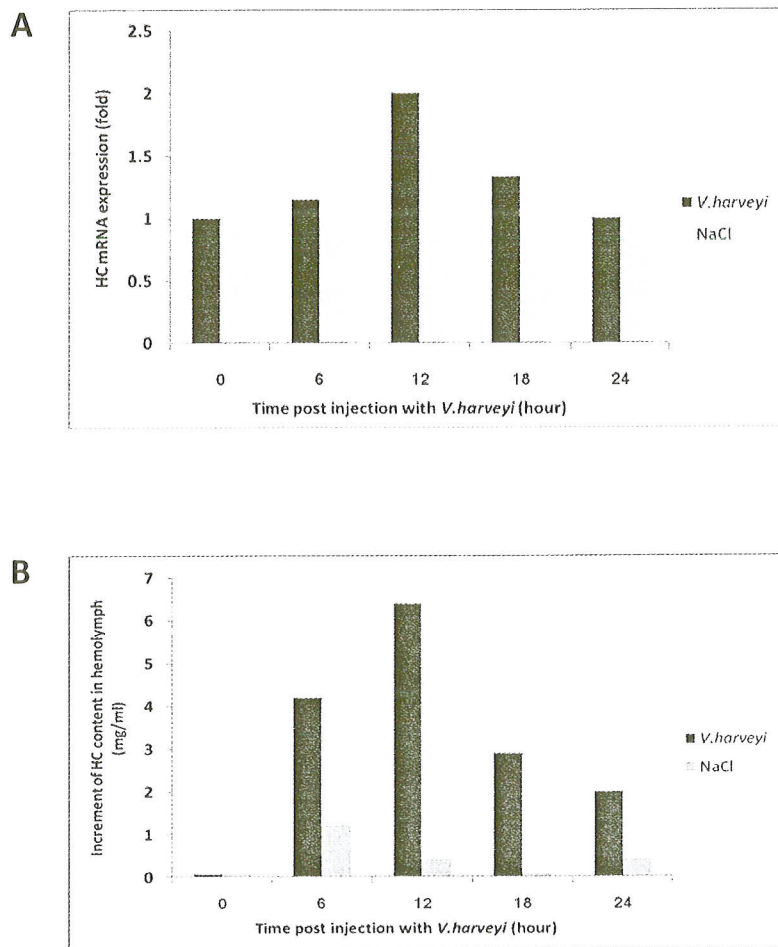


Fig. 11 Expression of HC mRNA in hepatopancreas and HC levels in hemolymph at different time intervals in response to *V. harveyi* challenge. (A) Time-course expression of HC mRNA in the hepatopancreas of shrimp injected by *V. harveyi*, was analyzed by real-time PCR using 18S rRNA as a standard. (B) Hemocyanin level in the hemolymph of the same shrimp was determined by ELISA.